

I-191 初期ねじれを有する薄肉断面直線ばかりのねじり振動

長崎大 正員 築地恒天
長崎大 山中康種

1 まえがき

初期ねじれのある薄肉断面ばかりの自由振動については、従来から薄肉長方形断面の曲げ振動に関する多くの研究がなされているが、ねじり振動については二・三を除いてほとんど行われていない。断面が二軸対称の場合初期ねじればかりのねじれ振動には継振動が連成し、初期ねじれが大きい程連成の度合も大きい。ここでは、初期ねじれが極端に大きくなる初期ねじればかりのねじれ一級連成振動を支配する微分方程式を導き、振動特性に及ぼす初期ねじれの影響を調べる。

2 基礎式

座標軸を図1のように設ける。二軸対称断面を対象にすると、ねじれ変形と軸方向変形のみ連成し、曲げ変形は生じないので、自由振動に関するハミルトンの原理は次のように書ける。

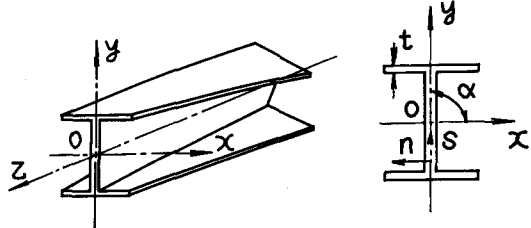


図1 初期ねじればかり

ここで、 t は時間、 T は運動エネルギー、 Π_s はひずみエネルギーでそれぞれ次のように書ける。

$$T = \frac{m}{2} \int_0^l [A \left(\frac{\partial w}{\partial z} \right)^2 + I_p \left(\frac{\partial \theta}{\partial z} \right)^2] dz \quad \dots (2)$$

$=$ ここで、 m はばかりの単位長さ当たりの質量、 A は断面積、 I_p は断面の極二次モーメント、 w は圓心の Z 方向変位、 θ は Z 軸まわりの断面回転角である。また、 Π_s は

$$\Pi_s = \frac{E}{2} \int_0^l [A \left(\frac{\partial w}{\partial z} \right)^2 + I_{\omega} \left(\frac{\partial^2 \theta}{\partial z^2} \right)^2 + I_{rr} K^2 \left(\frac{\partial \theta}{\partial z} \right)^2 + I_r K \frac{\partial w}{\partial z} \frac{\partial \theta}{\partial z}] dz + \frac{G}{2} \int_0^l J \left(\frac{\partial \theta}{\partial z} \right)^2 dz \quad \dots (3)$$

ここで、 E, G は材料定数、 K は初期ねじれ率である。また (3) 式の断面定数は次の定義に従う。

$$I_{\omega} = \int_A \omega^2 dA, \quad I_r = \int_A (x_o^2 + y_o^2) dA, \quad I_{rr} = \int_A (x_o^2 + y_o^2)^2 dA, \quad J = 4 \int_A n^2 dA \quad \dots (4)$$

ここで、 ω は圓心に関する断面の単位そり圓数、 x_o, y_o は断面板厚中央面上の任意点の座標である。

(2), (3) 式を (1) 式に代入し、部分積分を行ふと、初期ねじればかりのねじれ一級連成振動に関する微分方程式および境界条件が求まる。

微分方程式：

$$\left. \begin{aligned} EI_{\omega} \frac{\partial^4 \theta}{\partial z^4} - (GJ + EI_{rr} K^2) \frac{\partial^2 \theta}{\partial z^2} - EI_r K \frac{\partial^2 w}{\partial z^2} + m I_p \frac{\partial^2 \theta}{\partial t^2} = 0 \\ -EA \frac{\partial^2 w}{\partial z^2} - EI_r K \frac{\partial^2 \theta}{\partial z^2} + MA \frac{\partial^2 w}{\partial t^2} = 0 \end{aligned} \right\} \dots (5)$$

境界条件： $z = 0$ または l で、

$$\left. \begin{aligned} \theta = 0 \quad \text{または} \quad -EI_{\omega} \frac{\partial^3 \theta}{\partial z^3} + (GJ + EI_{rr} K^2) \frac{\partial \theta}{\partial z} + EI_r K \frac{\partial w}{\partial z} = 0 \\ \frac{\partial \theta}{\partial z} = 0 \quad \text{または} \quad EI_{\omega} \frac{\partial^3 \theta}{\partial z^2} = 0 \end{aligned} \right\} \dots (6)$$

$$w = 0 \quad \text{at } z=0 \quad EA \frac{\partial w}{\partial z} + EI_r K \frac{\partial^2 w}{\partial z^2} = 0$$

3 解析例

$z = 0$ 断面で固定された片持ちばかりを対象にする。

(a) そり変形が無視できる場合 ($I_w = 0$)

境界条件(6) を満たす変位関数は、

$$\theta = \sum_i a_i \sin \frac{i\pi}{2} \frac{z}{l} \cdot \cos \omega t \quad , \quad \frac{w}{l} = \sum_i b_i \sin \frac{i\pi}{2} \frac{z}{l} \cdot \cos \omega t \quad (i=1, 3, 5, \dots)$$

ここで、 ω は角振動数、 a_i, b_i は未知定数である。 \approx 式を微分方程式に代入すると、振動の固有値 $\lambda = \sqrt{m_p/GJ} \cdot \omega l$ が次のようになる。

$$\lambda = \frac{i\pi}{2} \sqrt{\frac{1}{2\mu} [\delta + \beta\mu \pm \sqrt{(\delta - \beta\mu)^2 + 4\mu\gamma^2}] } = \frac{i\pi}{2} \varphi \quad (i=1, 3, 5, \dots) \quad \dots (7)$$

ここで、 $\beta = 1 + \frac{EI_{rr}}{GJl^2} (Kl)^2$, $\gamma = \frac{EI_r}{GJ} (Kl)$, $\delta = \frac{EAl^2}{GJ}$ であり、 φ は初期ねじれ角による片持ちばかりねじり振動固有値の修正係数である。

(7) 式で \oplus の固有値はねじれ変形が卓越した振動であり、 \ominus の固有値は縦変形とねじれ変形が同じオーダーの振動である。振幅の比は、

$$\frac{b_i}{a_i} = - \frac{\gamma}{\delta - \varphi^2 \mu} \quad \dots (8)$$

で、振動の次数1は無関係である。長方形断面ばかり(断面 30×3 , 長さ 300)について、 φ と初期ねじれ $Kl = 5$ の関係を図2に、 b_i/a_i と λ の関係を表1に示す。

(b) そり変形が無視できない場合 ($I_w \neq 0$)

$\theta = \sum_i a_i f_i(z) \cdot \cos \omega t \quad (i=1, 2, 3, 4, 5)$, $\frac{w}{l} = \sum_j b_j \sin \frac{j\pi}{2} \frac{z}{l} \cdot \cos \omega t \quad (j=1, 3, 5, 7)$ と仮定し、ガラーキン法を用いて固有値入を求める。図に示す薄肉H型断面($b_h = 0.5$, $t/h = 0.1$, $h/l = 0.1$)に対する解析結果を図3に示す。 $f_i(z)$ は i 次の自由曲げ振動固有関数である。

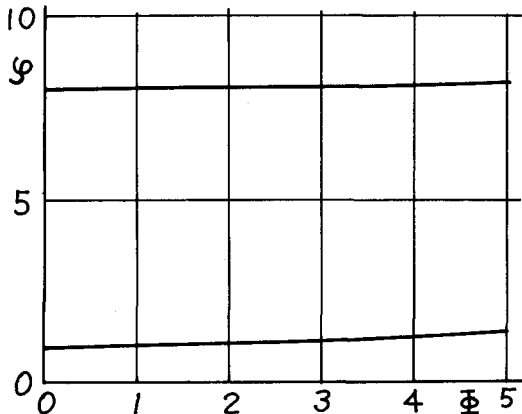


図2 固有値修正係数(長方形断面)

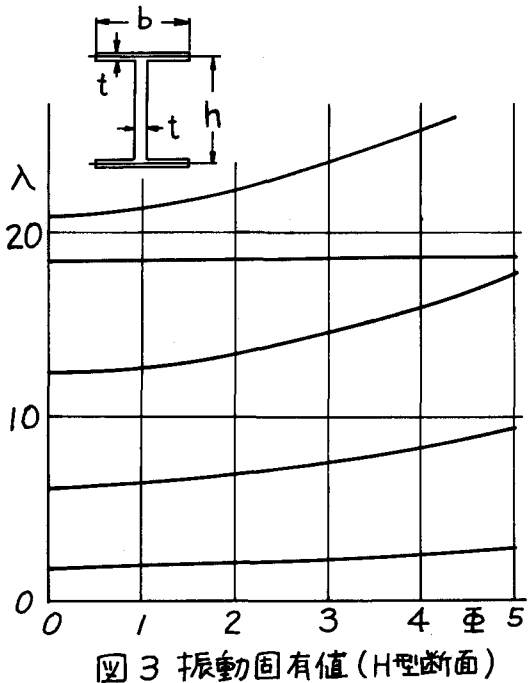


図3 振動固有値(H型断面)